

ผลของความเค็มที่มีต่อการกำจัดไนโตรเจนและฟอสฟอรัส
ของกระบวนการแยกทิวเตคสตัดจ์แบบฟอริดอกซ์ 3 ขั้นตอน



นางสาวชฎารัตน์ อนันต์

สถาบันวิทยบริการ
จุฬาลงกรณ์มหาวิทยาลัย

วิทยานิพนธ์นี้เป็นส่วนหนึ่งของการศึกษาดำเนินการหลักสูตรปริญญาวิทยาศาสตรมหาบัณฑิต

สาขาวิชาวิศวกรรมสิ่งแวดล้อม ภาควิชาวิศวกรรมสิ่งแวดล้อม

บัณฑิตวิทยาลัย จุฬาลงกรณ์มหาวิทยาลัย

ปีการศึกษา 2540

ISBN 974-637-971-2

ลิขสิทธิ์ของบัณฑิตวิทยาลัย จุฬาลงกรณ์มหาวิทยาลัย

**EFFECTS OF SALINITY ON THE NITROGEN AND PHOSPHORUS REMOVAL
OF A 3-STAGE PHOREDOX ACTIVATED SLUDGE PROCESS**

Miss Chadarut Anan



**A Thesis Submitted in Partial Fulfillment of the Requirements
for the Degree of Master of Engineering in Environmental Engineering
Department of Environmental Engineering**

Graduate School

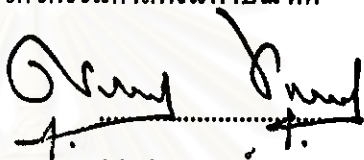
Chulalongkorn University

Academic Year 1997

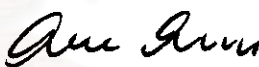
ISBN 974-637-971-2


หัวข้อวิทยานิพนธ์ ผลของความเค็มที่มีต่อการกำจัดไนโตรเจนและฟอสฟอรัสของกระบวนการ
การแยกที่เว็คคัลด์จ์แบบฟลอยด์ค็อกซ์ 3 ขั้นตอน
โดย นางสาวชญารัตน์ อนันต์
ภาควิชา วิศวกรรมสิ่งแวดล้อม
อาจารย์ที่ปรึกษา ศาสตราจารย์ ดร.ธงชัย พรรณสวัสดิ์


บัณฑิตวิทยาลัย จุฬาลงกรณ์มหาวิทยาลัย อนุมัติให้นำวิทยานิพนธ์ฉบับ
นี้เป็นส่วนหนึ่งของการศึกษาตามหลักสูตรวิศวกรรมศาสตรมหาบัณฑิต


..... คณบดีบัณฑิตวิทยาลัย
(ศาสตราจารย์ นายแพทย์ศุภวัฒน์ ชูติวงศ์)

คณะกรรมการสอบวิทยานิพนธ์


..... ประธานกรรมการ
(รองศาสตราจารย์ วงศ์พันธ์ ลิ้มปเสนีย์)


..... อาจารย์ที่ปรึกษา
(ศาสตราจารย์ ดร.ธงชัย พรรณสวัสดิ์)


..... กรรมการ
(รองศาสตราจารย์ ดร.ธีระ เกรอต)


..... กรรมการ
(รองศาสตราจารย์ ไพพรรณ พรประภา)

ชฎารัตน์ อนันต์ : ผลของความเค็มที่มีต่อการกำจัดไนโตรเจนและฟอสฟอรัสของกระบวนการแยกทิวเด็คสตีจ์แบบ
ฟอริคอกซ์ 3 ขั้นตอน (EFFECTS OF SALINITY ON THE NITROGEN AND PHOSPHORUS REMOVAL OF A
3-STAGE PHOREDOX ACTIVATED SLUDGE PROCESS) อ.ที่ปรึกษา : ศ.ดร.ธงชัย พรรณสวัสดิ์ , 218 หน้า.
ISBN 974-637-971-2

งานทดลองวิจัยนี้เป็นการศึกษาถึงผลของความเค็มที่มีต่อการกำจัดไนโตรเจนและฟอสฟอรัส โดยใช้กระบวนการ
แยกทิวเด็คสตีจ์แบบฟอริคอกซ์ 3 ขั้นตอน การทดลองแบ่งเป็น 2 ชุดทดลองด้วยกันคือชุดทดลองที่ 1 ใช้หัวเชื้อที่ไม่ชินต่อคลอรีน
มาก่อน โดยนำมาจากระบบบำบัดน้ำเสียชุมชนที่ไม่มีคลอรีนในระบบ และชุดทดลองที่ 2 ใช้หัวเชื้อที่ชินต่อคลอรีนมาก่อน โดยนำ
หัวเชื้อนั้นมาจากระบบบำบัดน้ำเสียของโรงงานฟอกหนังซึ่งเป็นน้ำเสียที่มีความเค็มสูง และนำหัวเชื้อนั้นมาเลี้ยงในห้องปฏิบัติการแบบ
แบคซ์ เติบโตอาหารและความเค็มในรูปของเกลือโซเดียมคลอไรด์ จากนั้นเริ่มทดลองเปรียบเทียบประสิทธิภาพของทั้งสองระบบโดยแปร
ค่าความเข้มข้นของเกลือโซเดียมคลอไรด์จากระบบควบคุม (0 ก./ล.) สำหรับชุดทดลองที่ใช้หัวเชื้อไม่ชินต่อคลอรีนโดยเฉพาะเป็น 5,
10, 20 และ 30 ก./ล. ตามลำดับ ทั้งสองชุดทดลอง ในแต่ละการทดลองเมื่อระบบเข้าสู่สถานะคงตัวและเก็บค่าพารามิเตอร์ต่าง ๆ เรียบ
ร้อยแล้ว ระบบจะถูกช็อกด้วยคลอรีนความเข้มข้นสูงถึง 70 ก./ล. เป็นเวลา 4 วัน เพื่อศึกษาความสามารถในการรับสภาพช็อกของ
แบคทีเรียในระบบ ก่อนที่จะกลับมามีความเข้มข้นเดิมอีกครั้ง เพื่อสังเกตความสามารถในการฟื้นตัวของระบบ

ผลที่ได้จากการทดลองพบว่า เมื่อความเข้มข้นของคลอรีนเพิ่มขึ้น ในระบบที่ใช้หัวเชื้อที่ไม่ชินต่อคลอรีนนั้นความ
สามารถในการกำจัดคาร์บอนอินทรีย์ในรูปของซีโอดีลดลงจากร้อยละ 96.5 เป็น 84.7, 84.0, 73.6 และ 60.0 ส่วนการกำจัดไนโตรเจน
ทั้งหมดลดลงจากร้อยละ 87.8 เป็น 80.4, 75.8, 69.5 และ 66.9 เมื่อเกลือโซเดียมคลอไรด์เพิ่มจาก 0-30 ก./ล. ตามลำดับ ส่วนในระบบที่
ใช้หัวเชื้อที่ชินต่อคลอรีนนั้นระบบกำจัดคาร์บอนอินทรีย์ในรูปของซีโอดีลดลงจากร้อยละ 96.5 เป็น 87.1, 84.0 และ 73.6 โดยที่การ
กำจัดไนโตรเจนทั้งหมดลดลงจากร้อยละ 88.8 เป็น 86.1, 72.5 และ 71.2 ตามลำดับ ส่วนผลของการวัดอัตราไนตริฟิเคชันและดีไนตริ
ฟิเคชันจำเพาะก็สอดคล้องกับประสิทธิภาพการกำจัดไนโตรเจนที่พบ กล่าวคืออัตราการเกิดปฏิกิริยาไนตริฟิเคชันและดีไนตริฟิเคชัน
จำเพาะก็ลดลงเช่นกันเมื่อคลอรีนเพิ่มขึ้น แต่สำหรับอัตราการใช้ออกซิเจนจำเพาะ(SOUR)นั้นกลับมีค่าเพิ่มขึ้นซึ่งคาดว่าเกิดจากความ
เข้มข้นของเกลือภายในและภายนอกเซลล์ที่แตกต่างกันมาก จึงเป็นผลให้เซลล์ต้องใช้พลังงานเพิ่มขึ้นในการรักษาสภาพเซลล์ สำหรับ
การกำจัดฟอสฟอรัสนั้นทำได้มีน้อยและผลที่ได้ไม่ชัดเจนซึ่งอาจเกิดจากโพลี-ฟิแบคทีเรียที่เกิดขึ้นในระบบมีน้อย ประสิทธิภาพการกำจัด
ฟอสฟอรัสที่ได้เมื่อความเค็มมีค่าเพิ่มขึ้นไม่แตกต่างกันมากนัก นอกจากนี้สิ่งหนึ่งที่แตกต่างเนื่องจากการใช้หัวเชื้อที่แตกต่างกันก็คือ
ระยะเวลาในการที่จะเข้าสู่สถานะคงตัวซึ่งเป็นระยะเวลาที่จุลชีพปรับตัวให้ชินกับสภาพคลอรีนในระบบ กล่าวคือเมื่อคลอรีนเพิ่มขึ้น
หัวเชื้อที่ชินต่อคลอรีนนั้นต้องใช้เวลาในการเข้าสู่สถานะคงตัวจาก 15 วัน เป็น 12, 10 และ 8 ตามลำดับ ซึ่งใช้เวลาน้อยลงเนื่องจากหัว
เชื้อนั้นเคยชินกับคลอรีนความเข้มข้นสูงมาก่อน ส่วนหัวเชื้อที่ไม่ชินต่อคลอรีนนั้นเมื่อค่าคลอรีนเพิ่มขึ้นจะใช้เวลามากขึ้นในการเข้าสู่
สถานะคงตัวโดยใช้เวลาจาก 10 วันสำหรับระบบควบคุม เป็น 15, 20 และ 20 วันตามลำดับ อนึ่งในสภาวะที่ความเข้มข้นของคลอรีน
ไรด์เริ่มต้นสูงและเมื่อระบบถูกช็อกด้วยคลอรีนความเข้มข้นสูง ระบบก็สามารถรับสภาพช็อกได้ดีกว่า การไหลออกของเซลล์น้อยกว่า
ซึ่งเมื่อเปรียบเทียบหัวเชื้อทั้งสองพบว่าหัวเชื้อที่ชินต่อคลอรีนจะรับสภาพช็อกได้ดีกว่าและใช้เวลาในการฟื้นสภาพหลังช็อก น้อย
กว่า กล่าวคือหัวเชื้อที่ชินต่อคลอรีนจะใช้เวลาในการฟื้นสภาพจาก 7 วันเป็น 6, 4 และ 4 วัน ส่วนหัวเชื้อที่ไม่ชินต่อคลอรีนนั้นจะใช้
เวลาในการฟื้นสภาพจาก 10 วันเป็น 8, 6, 5 และ 5 วัน ตามลำดับ

สรุปได้ว่าประสิทธิภาพของระบบสำหรับระบบที่ใช้หัวเชื้อที่ชินต่อคลอรีนมาก่อนนั้นจะสามารถทำงานได้ดีกว่า เร็วกว่า
และรับสภาพช็อกได้ดีกว่าด้วย

ภาควิชา วิศวกรรมสิ่งแวดล้อม.....
สาขาวิชา วิศวกรรมสิ่งแวดล้อม.....
ปีการศึกษา 2540.....
ลายมือชื่อนิสิต
ลายมือชื่ออาจารย์ที่ปรึกษา
ลายมือชื่ออาจารย์ที่ปรึกษาร่วม

C717836 : MAJOR ENVIRONMENTAL ENGINEERING

KEY WORD: NITROGEN REMOVAL / PHOSPHORUS REMOVAL / BNR / BPR / 3- STAGE PHOREDOX / SALINITY

CHADARUT ANAN : EFFECTS OF SALINITY ON THE NITROGEN AND PHOSPHORUS REMOVAL OF A

3-STAGE PHOREDOX ACTIVATED SLUDGE PROCESS. THESIS ADVISOR : PROF. THONGCHAI PANSWAD, Ph.D.

218 pp. ISBN 974-637-971-2

The objective of this research was to study the effects of salinity on nitrogen and phosphorus removal in a 3-Stage PHOREDOX (anaerobic/anoxic/aerobic) activated sludge process. Two sets of model were established. The first was run without inoculated halophilic bacteria from a non-chloride domestic wastewater treatment plant and other was run with inoculation halophilic bacteria from tannery wastewater treatment plant which had high salinity characteristics. The latter seed was fed with nutrients and sodium chloride (NaCl) using the batch process. Both models were tested to compare the efficiencies by varying the NaCl concentration from the control condition (0 g/l) for the first model to 5, 10, 20, and 30 g/l, respectively, for both models. After each system had reached the steady state and all data had been completely collected, it was further shocked with a very high amount of 70 g/l of NaCl for four consecutive days to study the capability of bacteria before being allowed to return to the original stage.

When the salinity increased from 0 to 30 g/l, the chemical oxygen demand (COD) removal efficiency of the non-acclimatized bacteria decreased from 96.5 to 84.7, 84.0, 73.6, and 60.0 percent, and the total nitrogen removal efficiency decreased from 87.7 to 80.4, 75.8, 69.5, and 66.9 percent, respectively. For the NaCl-acclimatized system, the COD removal efficiency decreased from 96.5 to 87.1, 84.0, and 73.6 percent, and the total nitrogen removal decreased from 88.8 to 86.1, 72.5, and 71.2 percent as the salinity increased form 5 to 30 g/l, respectively. The decrease in specific nitrification and denitrification rates (SNRs and SDNRs) of each run supported the phenomena of decrease in the total nitrogen removal efficiency. On the contrary, the specific oxygen uptake rates (SOURs) increased as the salinity increased since the high difference of salt concentrations between inside and outside cells forced them to use more energy to maintain cytoplasmic membrane. The phosphorus removal in this study was not as high as reported elsewhere, probably because of the sensitivity of poly-P bacteria to the high salt concentration. And the phosphorus removal efficiencies when the salinity increased were not so much different. The objective of working with the different seeds was to compare how much time they took to reach the steady state. When the salinity increased form 5 to 30 g/l, the acclimated seed system took from 15 to 12, 10, and 8 days, respectively, but the non-acclimated seed system took more time, from 10 days of the control system (0 g/l) to 15, 20, 20, and 20 days, respectively. For experiments of higher initial chloride condition when the systems were shocked, the system could get better efficiencies with barely cells washed out. The NaCl-acclimatized bacteria needed less time to recuperate (from 5 to 6, 4, and 4 days) than the non-acclimatized bacteria (which needed from 10 days of control system to 8, 6, 5 and 5 days, respectively). This indicates the acclimatization to salinity of microorganism in the reactor.

We can conclude that the NaCl-acclimatized system had higher removal efficiencies, higher rates of treatment, higher ability to work when shocked with the high chloride dose and took less time to recover.

ภาควิชา..... วิศวกรรมสิ่งแวดล้อม.....

สาขาวิชา..... วิศวกรรมสิ่งแวดล้อม.....

ปีการศึกษา..... 2540.....

ลายมือชื่อนิติ..... .....

ลายมือชื่ออาจารย์ที่ปรึกษา..... .....

ลายมือชื่ออาจารย์ที่ปรึกษาร่วม.....

กิตติกรรมประกาศ

วิทยานิพนธ์ฉบับนี้สำเร็จได้ด้วยดี เนื่องจากบุคคลสำคัญยิ่งท่านหนึ่ง คือศาสตราจารย์ ดร. ชงชัย พรรณสวัสดิ์ ซึ่งได้ให้ความกรุณาเสนอแนะหัวข้อวิทยานิพนธ์เรื่องนี้ นอกจากนี้ยังได้ให้ข้อคิดเห็น คำแนะนำ ตลอดจนสนับสนุนให้เกิดความก้าวหน้าอย่างยิ่งในเชิงวิชาการและการดำเนินตนเป็นนักวิจัยที่ดี รวมถึงการจัดหาทุนในการวิจัย ให้แก่ผู้วิจัยตลอดมาตั้งแต่เริ่มต้นจนกระทั่งสิ้นสุด ผู้วิจัยขอกราบขอบพระคุณเป็นอย่างสูงไว้ ณ โอกาสนี้

ขอขอบคุณสำนักงานกองทุนสนับสนุนการวิจัยที่ให้ทุนในการวิจัยครั้งนี้จนสำเร็จด้วยดีด้วยดี

ขอขอบคุณคณะกรรมการสอบวิทยานิพนธ์ทุกท่าน และคณาจารย์ภาควิชาวิศวกรรมสิ่งแวดล้อม ที่ได้ให้ความรู้อันมีค่าแก่ผู้วิจัย

ขอขอบคุณเพื่อนรุ่น C7 และ C8 ของหลักสูตร วท.ม. ภาควิชาวิศวกรรมสิ่งแวดล้อม ทุกคนที่กรุณาให้ความช่วยเหลืออำนวยความสะดวก เสียสละเวลาและแรงกาย รวมถึงกำลังใจที่มอบให้

สุดท้ายนี้ ขอกราบขอบพระคุณบุคคลสำคัญในชีวิต คือคุณพ่อ คุณแม่ ผู้ที่ให้กำลังใจและช่วยเหลือตลอดเวลา จนกระทั่งการเขียนครั้งนี้สำเร็จด้วยดีเป็นอย่างดี

สถาบันวิทยบริการ
จุฬาลงกรณ์มหาวิทยาลัย

สารบัญ

	หน้า
บทคัดย่อภาษาไทย	ง
บทคัดย่อภาษาอังกฤษ	จ
กิตติกรรมประกาศ	ฉ
สารบัญ	ช
สารบัญตาราง	ญ
สารบัญรูป	ฎ
บทที่ 1. บทนำ	1
1.1 ความเป็นมา	1
1.2 วัตถุประสงค์	2
1.3 ขอบเขตของการวิจัย	3
บทที่ 2 ทบทวนเอกสาร	4
2.1 ความสำคัญของค่าความเค็มในน้ำเสีย	4
2.1.1 สภาพความเค็ม	4
2.1.2 ชนิดของความเค็ม	5
2.1.3 การศึกษาที่ผ่านมา	6
2.2 กระบวนการกำจัดธาตุอาหารทางชีวภาพ (Biological Nutrient Removal)	9
2.3 การกำจัดไนโตรเจน	15
2.3.1 แหล่งกำเนิดของไนโตรเจนในน้ำเสีย	15
2.3.2 การแปลงรูปของไนโตรเจนในกระบวนการบำบัดทางชีวภาพ	15
2.3.3 กระบวนการไนตริฟิเคชัน	16
2.3.4 กระบวนการดีไนตริฟิเคชัน	22
2.4 การกำจัดฟอสฟอรัส	26
2.4.1 รูปแบบฟอสฟอรัส	26
2.4.2 หลักการพื้นฐาน	27
2.4.4 ปัจจัยที่มีผลต่อการกำจัดฟอสฟอรัส	31

	หน้า
บทที่ 3 แผนการทดลองและการดำเนินการวิจัย	34
3.1 แผนการทดลอง	34
3.1.1 ตัวแปรคงที่	34
3.1.2 ตัวแปรอิสระ	34
3.1.3 ตัวแปรตาม	34
3.2 การดำเนินการทดลอง	35
3.3 น้ำเสียที่ใช้ในการทดลอง	37
3.4 เครื่องมือและอุปกรณ์ที่ใช้ในการทดลอง	37
3.4.1 ถังปฏิกริยา	37
3.4.2 เครื่องสูบน้ำและเครื่องสูบลม	38
3.4.3 ถังตกตะกอน	38
3.4.4 เครื่องอัดอากาศ	39
3.4.5 เครื่องกวนผสม	39
3.5 การติดตั้งเครื่องมือและการควบคุมระบบ	39
3.5.1 การติดตั้งเครื่องมือ	39
3.5.2 การควบคุมระบบ	39
3.6 การเก็บตัวอย่างและการวิเคราะห์ตัวอย่างน้ำเสีย	41
3.6.1 การเก็บตัวอย่างน้ำ	41
3.6.2 การวิเคราะห์ตัวอย่างน้ำ	42
บทที่ 4 ผลการทดลอง	45
4.1 บทนำ	45
4.2 ผลการทดลอง	45
4.2.1 ออกซิเจนละลายน้ำ	45
4.2.2 โออาร์พี (oxidation-reduction potential, ORP)	69
4.2.3 อุณหภูมิ	72
4.2.4 สภาพค่าง	75
4.2.5 พีเอช	80
4.2.6 เอ็มแอลเอสเอส (MLSS)	83
4.2.7 เอสวี30 และเอสวีไอ	88

	หน้า
4.2.8 ค่าซีไอดี	93
4.2.9 ค่าทีเคเอ็น	98
4.2.10 ค่าไนโทรด์และไนเตรด	102
4.2.11 ค่าฟอสฟอรัส	108
4.2.12 ค่าคลอไรด์	112
4.3 การวิเคราะห์และเปรียบเทียบผล	115
4.3.1 ประสิทธิภาพการกำจัดซีไอดี	115
4.3.2 ประสิทธิภาพการกำจัดไนโตรเจน	118
4.3.3 ประสิทธิภาพการกำจัดฟอสฟอรัส	122
4.3.4 อัตราการใช้ออกซิเจนจำเพาะ (SOUR)	125
4.3.5 อัตราการเกิดไนตริไฟเคชันจำเพาะ (SNR)	127
4.3.6 อัตราการเกิดดีไนตริไฟเคชันจำเพาะ (SDNR)	128
4.3.7 เวลาที่ใช้ในการเข้าสู่สถานะคงตัวและฟื้นสภาพ	130
บทที่ 5 สรุปผลและข้อเสนอแนะ	132
5.1 สรุปผลการทดลอง	132
5.2 ข้อเสนอแนะ	133
รายการอ้างอิง	134
ภาคผนวก	141
ภาคผนวก ก. การคำนวณขนาดและจำนวนรอบของการกวนผสม	142
ภาคผนวก ข. การหาอัตราการเกิดไนตริไฟเคชัน ดีไนตริไฟเคชัน และการใช้ออกซิเจนจำเพาะ	144
ภาคผนวก ค. ผลของความเค็มที่มีต่อการวิเคราะห์ค่าซีไอดีและฟอสฟอรัส	146
ภาคผนวก ง. ข้อมูลผลการทดลอง	148
ภาคผนวก จ. อุปกรณ์ที่ใช้ในการทดลอง	216
ประวัติผู้เขียน	218

สารบัญตาราง

	หน้า
ตารางที่ 2.1 ปริมาณเกลือในน้ำเสียจากโรงงานอุตสาหกรรม	4
ตารางที่ 2.2 ส่วนประกอบของน้ำทะเล	5
ตารางที่ 2.3 ฟอสฟอรัสในน้ำเสียจากแหล่งชุมชน	26
ตารางที่ 3.1 ตัวแปรที่ควบคุมให้คงที่ตลอดการทดลอง	34
ตารางที่ 3.2 ส่วนประกอบของน้ำเสียสังเคราะห์	37
ตารางที่ 3.3 พารามิเตอร์และค่าที่ดีที่จะเก็บตัวอย่างและทำการวิเคราะห์	42
ตารางที่ 3.4 วิธีที่ใช้ในการวิเคราะห์พารามิเตอร์	43
ตารางที่ 4.1 ค่าเฉลี่ยในช่วงสถานะคงตัวของชุดควบคุม (0 ก.ถ. NaCl) ของชุดทดลองที่ 1	58
ตารางที่ 4.2 ค่าเฉลี่ยในช่วงสถานะคงตัวที่ 5 ก.ถ. NaCl ของชุดทดลองที่ 1	59
ตารางที่ 4.3 ค่าเฉลี่ยในช่วงสถานะคงตัวที่ 10 ก.ถ. NaCl ของชุดทดลองที่ 1	60
ตารางที่ 4.4 ค่าเฉลี่ยในช่วงสถานะคงตัวที่ 20 ก.ถ. NaCl ของชุดทดลองที่ 1	61
ตารางที่ 4.5 ค่าเฉลี่ยในช่วงสถานะคงตัวที่ 30 ก.ถ. NaCl ของชุดทดลองที่ 1	62
ตารางที่ 4.6 ค่าเฉลี่ยในช่วงสถานะคงตัวที่ 5 ก.ถ. NaCl ของชุดทดลองที่ 2	63
ตารางที่ 4.7 ค่าเฉลี่ยในช่วงสถานะคงตัวที่ 10 ก.ถ. NaCl ของชุดทดลองที่ 2	64
ตารางที่ 4.8 ค่าเฉลี่ยในช่วงสถานะคงตัวที่ 20 ก.ถ. NaCl ของชุดทดลองที่ 2	65
ตารางที่ 4.9 ค่าเฉลี่ยในช่วงสถานะคงตัวที่ 30 ก.ถ. NaCl ของชุดทดลองที่ 2	66
ตารางที่ 4.10 การสร้างและใช้สภาพค้างในแต่ละดังปฏิกิริยาในช่วงสถานะคงตัว	77
ตารางที่ 4.11 ค่าเฉลี่ยเอ็มแอลเอสเอสของระบบ	86
ตารางที่ 4.12 ค่าเฉลี่ยของแฉ่งแฉวนลอยที่ออกจากระบบ	87
ตารางที่ 4.13 ค่าเอสวี 30 และเอสวีไอของระบบ	88
ตารางที่ 4.14 ประสิทธิภาพการกำจัดซีไอซีของถังแอนแอโรบิกและระบบ ในช่วงสถานะคงตัว	96
ตารางที่ 4.15 ประสิทธิภาพการกำจัดทีเคเอ็นของระบบในช่วงสถานะคงตัว	98
ตารางที่ 4.16 สรุปค่าเฉลี่ยของไนไตรต์และไนเตรคของแต่ละดัง	105
ตารางที่ 4.17 ประสิทธิภาพการกำจัดฟอสฟอรัสของระบบในช่วงสถานะคงตัว	111

ตารางที่ 4.18	ค่าความเข้มข้นของเกลือโซเดียมคลอไรด์ของน้ำเสียที่เข้า และออกจากระบบ	112
ตารางที่ 4.19	ประสิทธิภาพการกำจัดซีโอดีของระบบ	113
ตารางที่ 4.20	ประสิทธิภาพการกำจัดไนโตรเจนทั้งหมดของระบบ ในช่วงสถานะคงตัว	119
ตารางที่ 4.21	อัตราการเกิดปฏิกิริยาในครีทีเคชั่นของชุดทดลองที่ 1 และ 2	128
ตารางที่ 4.22	อัตราการเกิดปฏิกิริยาในครีทีเคชั่นของงานวิจัยอื่น	129
ตารางที่ 4.23	อัตราการเกิดปฏิกิริยาดีไนตริฟิเคชั่นของชุดทดลองที่ 1 และ 2	130
ตารางที่ 4.24	อัตราการเกิดปฏิกิริยาดีไนตริฟิเคชั่นของงานวิจัยอื่น	131
ตารางที่ 4.25	เวลาในการเข้าสู่สถานะคงตัวของพารามิเตอร์ต่างๆ	132
ตารางที่ ก-1	ผลการวิเคราะห์และความคลาดเคลื่อนของการวิเคราะห์ซีโอดี ที่มีความเค็ม	146
ตารางที่ ก-2	ผลการวิเคราะห์และความคลาดเคลื่อนของการวิเคราะห์ฟอสฟอรัส ที่มีความเค็ม	147
ตารางที่ ง-1	ผลการทดลองชุดควบคุม (0 ก./ล.NaCl) สำหรับชุดทดลองที่ 1 (หัวเชื้อที่ไม่ชินต่อคลอไรด์)	149
ตารางที่ ง-2	ผลการทดลองที่เกลือโซเดียมคลอไรด์ 5 ก./ล.NaCl สำหรับชุดทดลองที่ 1 (หัวเชื้อที่ไม่ชินต่อคลอไรด์).....	155
ตารางที่ ง-3	ผลการทดลองที่เกลือโซเดียมคลอไรด์ 10 ก./ล.NaCl สำหรับชุดทดลองที่ 1 (หัวเชื้อที่ไม่ชินต่อคลอไรด์)	162
ตารางที่ ง-4	ผลการทดลองที่เกลือโซเดียมคลอไรด์ 20 ก./ล.NaCl สำหรับชุดทดลองที่ 1 (หัวเชื้อที่ไม่ชินต่อคลอไรด์)	167
ตารางที่ ง-5	ผลการทดลองที่เกลือโซเดียมคลอไรด์ 30 ก./ล.NaCl สำหรับชุดทดลองที่ 1 (หัวเชื้อที่ไม่ชินต่อคลอไรด์)	173
ตารางที่ ง-6	ผลการทดลองที่เกลือโซเดียมคลอไรด์ 5 ก./ล.NaCl สำหรับชุดทดลองที่ 2 (หัวเชื้อที่ชินต่อคลอไรด์)	179
ตารางที่ ง-7	ผลการทดลองที่เกลือโซเดียมคลอไรด์ 10 ก./ล.NaCl สำหรับชุดทดลองที่ 2 (หัวเชื้อที่ชินต่อคลอไรด์)	185

ตารางที่ ง-8	ผลการทดลองที่เกิดไอโซเดียมคลอไรด์ 20 ก./ล.NaCl สำหรับชุดทดลองที่ 2 (หัวเชื้อที่จับต่อคลอไรด์)	192
ตารางที่ ง-9	ผลการทดลองที่เกิดไอโซเดียมคลอไรด์ 30 ก./ล.NaCl สำหรับชุดทดลองที่ 2 (หัวเชื้อที่จับต่อคลอไรด์)	197
ตารางที่ ง-10	ปฏิกิริยาไนตริฟิเคชันจำเพาะที่ความเค็มต่างๆของชุดทดลองที่ 1	203
ตารางที่ ง-11	ปฏิกิริยาไนตริฟิเคชันจำเพาะที่ความเค็มต่างๆของชุดทดลองที่ 2	204
ตารางที่ ง-12	ปฏิกิริยาดีไนตริฟิเคชันจำเพาะที่ความเค็มต่างๆของชุดทดลองที่ 1	205
ตารางที่ ง-13	ปฏิกิริยาดีไนตริฟิเคชันจำเพาะที่ความเค็มต่างๆของชุดทดลองที่ 2	206
ตารางที่ ง-14	อัตราการใช้ออกซิเจนจำเพาะที่เกิดไอโซเดียมคลอไรด์ 0 ก./ล. ของชุดทดลองที่ 1	207
ตารางที่ ง-15	อัตราการใช้ออกซิเจนจำเพาะที่เกิดไอโซเดียมคลอไรด์ 5 ก./ล. ของชุดทดลองที่ 1	208
ตารางที่ ง-16	อัตราการใช้ออกซิเจนจำเพาะที่เกิดไอโซเดียมคลอไรด์ 10 ก./ล. ของชุดทดลองที่ 1	209
ตารางที่ ง-17	อัตราการใช้ออกซิเจนจำเพาะที่เกิดไอโซเดียมคลอไรด์ 20 ก./ล. ของชุดทดลองที่ 1	210
ตารางที่ ง-18	อัตราการใช้ออกซิเจนจำเพาะที่เกิดไอโซเดียมคลอไรด์ 30 ก./ล. ของชุดทดลองที่ 1	211
ตารางที่ ง-19	อัตราการใช้ออกซิเจนจำเพาะที่เกิดไอโซเดียมคลอไรด์ 5 ก./ล. ของชุดทดลองที่ 2	212
ตารางที่ ง-20	อัตราการใช้ออกซิเจนจำเพาะที่เกิดไอโซเดียมคลอไรด์ 10 ก./ล. ของชุดทดลองที่ 2	213
ตารางที่ ง-21	อัตราการใช้ออกซิเจนจำเพาะที่เกิดไอโซเดียมคลอไรด์ 20 ก./ล. ของชุดทดลองที่ 2	214
ตารางที่ ง-22	อัตราการใช้ออกซิเจนจำเพาะที่เกิดไอโซเดียมคลอไรด์ 30 ก./ล. ของชุดทดลองที่ 2	215

สารบัญรูป

		หน้า
รูปที่ 2.1	ระบบสัตต์จ์เคียวที่มีการเวียนตะกอนกลับ และกลองวนเวียน	10
รูปที่ 2.2	ระบบกำจัดไนโตรเจนแบบสัตต์จ์คู่	11
รูปที่ 2.3	กระบวนการกำจัดฟอสฟอรัสอย่างเคียว	12
รูปที่ 2.4	กระบวนการ 3-stage Phoredox หรือเอยู/ไอ	13
รูปที่ 2.5	กระบวนการ Five-Stage Bardenpho	14
รูปที่ 2.6	กระบวนการยูซีที	14
รูปที่ 2.7	กระบวนการวีไอที	15
รูปที่ 2.8	เส้นทางและกระบวนการแปดรูปของสารประกอบไนโตรเจน	16
รูปที่ 2.9	กระบวนการแปดรูปไนโตรเจนทางชีวภาพ	17
รูปที่ 2.10	ผลของพีเอชที่มีต่ออัตราการเกิดไนตริฟิเคชันสูงสุด	19
รูปที่ 2.11	ผลของอุณหภูมิที่มีต่ออัตราการเกิดไนตริฟิเคชัน	20
รูปที่ 2.12	กลไกการกำจัดฟอสฟอรัสภายใต้สภาวะแอนแอโรบิกและเอโรบิก	29
รูปที่ 2.13	ผลของบีโอดีละลาย(soluble BOD)และฟอสฟอรัสที่เกิดขึ้นในระบบ	30
รูปที่ 3.1	ลักษณะการดำเนินการทดลองของทั้งสองชุดทดลอง	36
รูปที่ 3.2	ถังตกตะกอนขั้นที่สอง	37
รูปที่ 3.3	การติดตั้งเครื่องมือทดลอง	42
รูปที่ 3.4	ขั้นตอนการศึกษาวิจัย	45
รูปที่ 4.1	ผลโดยรวมทั้งหมดของชุดทดลองที่ 1	47
รูปที่ 4.2	ผลโดยรวมทั้งหมดของชุดทดลองที่ 2	53
รูปที่ 4.3	ค่าออกซิเจนละลายน้ำในแต่ละถังของชุดทดลองที่ 1	68
รูปที่ 4.4	ค่าออกซิเจนละลายน้ำในแต่ละถังของชุดทดลองที่ 2	69
รูปที่ 4.5	ค่าไออาร์พีในแต่ละถังของชุดทดลองที่ 1	71
รูปที่ 4.6	ค่าไออาร์พีในแต่ละถังของชุดทดลองที่ 2	72
รูปที่ 4.7	ค่าอุณหภูมิในแต่ละถังของชุดทดลองที่ 1	74
รูปที่ 4.8	ค่าอุณหภูมิในแต่ละถังของชุดทดลองที่ 2	75
รูปที่ 4.9	คุณสมบัติของแต่ละถังปฏิกริยา	77
รูปที่ 4.10	สภาพค่างในแต่ละถังของชุดทดลองที่ 1	79

	หน้า
รูปที่ 4.11 สภาพค่างในแต่ละถังของชุดทดลองที่ 2	80
รูปที่ 4.12 ค่าพีเอชในแต่ละถังของชุดทดลองที่ 1	82
รูปที่ 4.13 ค่าพีเอชในแต่ละถังของชุดทดลองที่ 2	83
รูปที่ 4.14 เอ็มแอลเอสเอสและของแข็งแขวนลอยในแต่ละถังของชุดทดลองที่ 1	85
รูปที่ 4.15 เอ็มแอลเอสเอสและของแข็งแขวนลอยในแต่ละถังของชุดทดลองที่ 2	86
รูปที่ 4.16 เอสวี 30 ในแต่ละถังของชุดทดลองที่ 1	90
รูปที่ 4.17 เอสวี 30 ในแต่ละถังของชุดทดลองที่ 2	91
รูปที่ 4.18 เอสวีไอในแต่ละถังของชุดทดลองที่ 1	92
รูปที่ 4.19 เอสวีไอในแต่ละถังของชุดทดลองที่ 2	93
รูปที่ 4.20 ค่าซีโอดีในแต่ละถังของชุดทดลองที่ 1	95
รูปที่ 4.21 ค่าซีโอดีในแต่ละถังของชุดทดลองที่ 2	96
รูปที่ 4.22 ค่าซีโอดีในแต่ละถังปฏิกิริยาของชุดทดลองที่ 1	97
รูปที่ 4.23 ค่าซีโอดีในแต่ละถังปฏิกิริยาของชุดทดลองที่ 2	97
รูปที่ 4.24 ค่าทีเคเอ็นในแต่ละถังของชุดทดลองที่ 1	99
รูปที่ 4.25 ค่าทีเคเอ็นในแต่ละถังของชุดทดลองที่ 2	100
รูปที่ 4.26 ค่าทีเคเอ็นในแต่ละถังปฏิกิริยาของชุดทดลองที่ 1	101
รูปที่ 4.27 ค่าทีเคเอ็นในแต่ละถังปฏิกิริยาของชุดทดลองที่ 2	101
รูปที่ 4.28 ไนโตรดีในแต่ละถังของชุดทดลองที่ 1	103
รูปที่ 4.29 ไนโตรดีในแต่ละถังของชุดทดลองที่ 2	104
รูปที่ 4.30 ไนเตรตในแต่ละถังของชุดทดลองที่ 1	105
รูปที่ 4.31 ไนเตรตในแต่ละถังของชุดทดลองที่ 2	106
รูปที่ 4.32 ฟอสฟอรัสในแต่ละถังของชุดทดลองที่ 1	109
รูปที่ 4.33 ฟอสฟอรัสในแต่ละถังของชุดทดลองที่ 2	110
รูปที่ 4.34 ความเข้มข้นของคลอไรด์ของชุดทดลองที่ 1	113
รูปที่ 4.35 ความเข้มข้นของคลอไรด์ของชุดทดลองที่ 2	113
รูปที่ 4.36 ความเข้มข้นของเกลือโซเดียมคลอไรด์ของชุดทดลองที่ 1.....	114
รูปที่ 4.37 ความเข้มข้นของเกลือโซเดียมคลอไรด์ของชุดทดลองที่ 2.....	114
รูปที่ 4.38 ซีโอดีในน้ำเสียออกแลประสิทธิภาพที่กำจัดได้ในช่วงสถานะคงตัว	116
รูปที่ 4.39 ประสิทธิภาพการกำจัดซีโอดีของทั้งสองชุดทดลองเมื่อถูกช็อก	116

	หน้า
รูปที่ 4.40 ประสิทธิภาพการกำจัดซีไอคิของทั้งสองชุดทดลองภายหลังพื้นสภาพ	117
รูปที่ 4.41 ไนโตรเจนทั้งหมดในน้ำออกและประสิทธิภาพการกำจัดที่สถานะคงตัว	118
รูปที่ 4.42 ทีเคเอ็น ไนโตรด และไนเตรดในน้ำเสียออกในช่วงสถานะคงตัว	121
รูปที่ 4.43 ทีเคเอ็น ไนโตรด และไนเตรดในน้ำเสียออกที่ภาวะช็อก	121
รูปที่ 4.44 ทีเคเอ็น ไนโตรด และไนเตรดในน้ำเสียออกภายหลังพื้นสภาพ	122
รูปที่ 4.45 ประสิทธิภาพการกำจัดฟอสฟอรัสทั้งหมดของทั้งสองชุดทดลอง	124
รูปที่ 4.46 ฟอสฟอรัสภายในเซลล์ของทั้งสองชุดทดลอง	124
รูปที่ 4.47 อัตราการใช้ออกซิเจนจำเพาะในแต่ละสภาวะ	126
รูปที่ 4.48 อัตราการเกิดปฏิกิริยาไนคริฟิเคชันของชุดทดลองที่ 1 และ 2	128
รูปที่ 4.49 อัตราการเกิดปฏิกิริยาดิไนคริฟิเคชันของชุดทดลองที่ 1 และ 2	130